



بررسی اثر پارامترهای کلیدی بر رنگبری رنگزای ایندیگوکارمین با استفاده از روش UV/H₂O₂/Aeration

رضامرندی^{۱*}، محمدابراهیم علیا^۲، یاسر آخی^۳

۱- استادیار، دانشکده مهندسی محیط زیست، دانشگاه آزاد اسلامی واحد تهران شمال، تهران، ایران، صندوق پستی: ۱۹۵۸۵/۹۳۶

۲- استادیار، گروه پژوهشی رنگ و محیط زیست، پژوهشکاه علوم و فناوری رنگ، تهران، ایران، صندوق پستی: ۱۶۷۶۵-۶۵۴

۳- دانشجوی کارشناسی ارشد، دانشکده شیمی، دانشگاه آزاد اسلامی واحد تهران شمال، تهران، ایران، صندوق پستی: ۱۹۵۸۵/۹۳۶

تاریخ دریافت: ۸۹/۱۲/۲۳ در دسترس به صورت الکترونیکی از: ۱۳۹۰/۶/۲۰

چکیده

فرآیندهای اکسیداسیون پیشرفته (AOPs) از فرآیندهای مؤثر در تصفیه آب آلوده به انواع آلاینده‌های آلی مضر می‌باشند. در این تحقیق رنگبری ماده رنگزای ایندیگوکارمین (AB74) با فرآیند UV/H₂O₂/Aeration (Acid Blue 74) در یک راکتور فتوشیمیایی تاپیوسته مجهز به لامپ UV(15W) و دمنده هوا مطالعه شد. رنگبری در یک زمان کوتاه کامل شده و با توجه به غلظت AB74 از یک سینتیک مرتبه اول پیروی می‌کند. سرعت رنگبری به وسیله آنالیز اسپکتروفوتومتری در ماکریمم طول موج جذب رنگزای بررسی شد. تأثیر پارامترهای کلیدی از جمله غلظت ابتدایی H₂O₂ pH و غلظت ابتدایی رنگزای روی درصد رنگبری مطالعه گردید. نتایج نشان می‌دهد که سرعت رنگبری با افزایش غلظت H₂O₂ تا ۰.۰۰۲۹۴ mol.L^{-۱} افزایش می‌یابد. بیشترین سرعت رنگبری در pH=۳ بوده و سرعت آغازین واکنش با افزایش غلظت ابتدایی رنگزای تا ۱۰^{-۴} M تا ۶.۴۳×۱۰^{-۴} M افزایش می‌یابد.

واژه‌های کلیدی: رنگبری، فرآیندهای اکسیداسیون پیشرفته، پسابهای صنعتی، رنگزا.

Effect of Key Operating Parameters on Decolorization of Indigo Carmine Dye by UV/H₂O₂/Aeration Process

R. Marandi^{*1}, M. E. Olya², Y. Akhi¹

¹ Department of Environmental Engineering, Islamic Azad University, Tehran North Branch, P.O.Box 19585/936, Tehran, Iran

² Department of Environmental research, Institute for Color Science and Technology, P.O.Box: 16765-654, Tehran, Iran

Received: 12-07-2010

Accepted: 14-03-2011

Available online: 11-09-2011

Abstract

Advanced Oxidation Processes (AOPs) are the effective processes in treatment of the various wastewaters contaminated with hazardous organic pollutants. In this work, decolorization of Acid Blue 74 in the UV/H₂O₂ process by using a batch photochemical reactor equipped with a 15 W low pressure mercury lamp (Osram) and aeration system as stirrer was studied. At the short time decolorization was complete and follows first order kinetic with respect of dye concentration. The rate of decolorization at the maximum absorption wavelength was monitored with spectrophotometric analysis. Effect of the important parameters such as initial concentration of H₂O₂, pH and initial concentration of dye on the dye decolorization was studied. It was found that the rate of decolorization increase with increase in H₂O₂ concentration up to 0.0294 mole.L⁻¹. The great rate of decolorization observed at the pH=3. With increasing the initial concentration of the dye up to 6.43×10⁻⁵ M, initial reaction rate was increased. J. Color Sci. Tech. 5(2011), 153-160 © Institute for Color Science and Technology.

Keywords: Decolorization, Advanced oxidation processes, Industrial wastewaters, Dye

*Corresponding author: r_marandi@iau-tnb.ac.ir

مولکول و طبیعت گروههای استخلاف شده روی گروههای آромاتیک رنگزها می‌باشد.

عامل تخریب در فرآیند رنگبری با سیستم UV/H₂O₂ رادیکال بسیار فعال هیدروکسیل (OH[·]) با پتانسیل اکسیداسیون ۲,۸ eV می‌باشد [۷,۱۰] که می‌تواند بسیاری از ترکیبات آلی را اکسید کند و به صورت غیر انتخابی به مولکول حمله می‌کند که یک مزیت به شمار می‌رود. از دیگر مزایای این سیستم‌های اکسیداسیون پیشرفت‌هه می‌توان به عدم تشکیل لجن در طی تصفیه، قابلیت اجرا در شرایط محیطی، و توانایی تبدیل بعضی از ترکیبات آلی پایدار همچون کلروبنزن، CO₂، ۱-دی‌کلروبنزن، نیتروزو دی متیل آمین (NDMA)، وینیل کلراید به H₂O₂ اشاره کرد، در ضمن اکسیژن تولید شده در این فرآیند برای تصفیه بیولوژیکی هوایی - در صورت جفت شدن با آن - مفید می‌باشد [۶,۸,۱۱,۱۲]. هدف اصلی این تحقیق بررسی تأثیر عامل‌های کلیدی مؤثر بر فرآیند رنگبری از جمله غلظت ابتدایی pH، H₂O₂، غلظت ابتدایی رنگزا با استفاده از سیستم UV/H₂O₂/Aeration UV می‌باشد.

به منظور نفوذ مؤثر نور UV در پساب بهترین مکان برای قرارگیری لامپ درون محلول می‌باشد که این موضوع مشکلات طراحی را به همراه دارد زیرا در این صورت همزدن محلول به منظور انتقال جرم به روش مکانیکی سخت‌تر شده و ممکن است سبب تصادم گردد. در این تحقیق به منظور رفع این مشکل اقدام به طراحی یک راکتور با همزدن هوا گردید. از سوی دیگر، با توجه به اینکه اکنون در بیشتر سیستم‌های تصفیه، از سیستم‌های هوادهی استفاده می‌شود، لذا به طور همزمان می‌توان از هوای تولیدی برای این قسمت هم استفاده کرد که این مساله کاهش بار اقتصادی و افزایش کارآیی سیستم اکسیداسیون را به همراه دارد و از این رو طراحی این نوع راکتور یک مزیت به شمار آمده و احتمال اجرایی شدن آن در مقیاس‌های بزرگ‌تر، زیاد می‌باشد.

۲- بخش تجربی

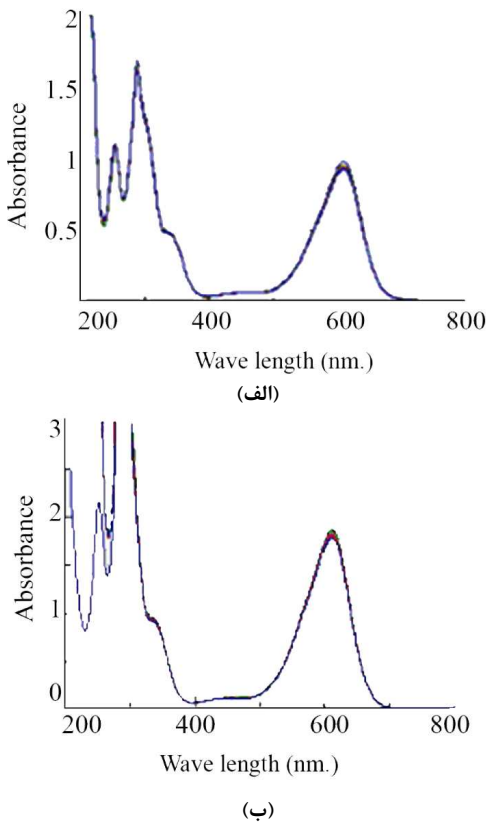
۲- مواد

تجاری 74 C.I.Acid Blue 74 می‌باشد از شرکت مرک تهیه شد. مشخصات رنگزا در جدول ۱ ارائه شده است. هیدروژن پراکسید (W/W٪)، اسیدسولفوریک (H₂SO₄٪)، هیدروکسید سدیم (NaOH٪)، همگی از شرکت مرک تهیه شدند.

جدول ۱: برخی خواص فیزیکی و شیمیایی رنگزا تصفیه شده.

رنگزا	فرمول مولکولی	Colour Index	Mw (g.mol ⁻¹)	λ_{max} (nm)	$\epsilon \times 10^3$ (L.mol ⁻¹ .cm ⁻¹)	ساختار
AB74	C ₁₆ H ₈ N ₂ Na ₂ O ₈ S ₂	۷۳۰۱۵	۴۶۶,۳۶	۶۱۰	۲۲,۳۳	

که انطباق طیف این اندازه‌گیری‌ها بر روی یکدیگر ثابت کرد که نه H_2O_2 و نه UV به تنها بی‌ قادر به رنگبری AB74 نمی‌باشدند (شکل ۲). بنابراین ترکیب پرتو UV و H_2O_2 برای تولید رادیکال‌های OH به وسیله فوتولیز H_2O_2 لازم است.



شکل ۲: اثر UV تنها (a) و H_2O_2 تنها (b) بر فرآیند رنگبری $t_{irradiation} = 0 - 60$ min
[H_2O_2]/[Dye] = 50 .

همان‌گونه که ذکر شد این رادیکال بسیار فعال بوده و به صورت غیر انتخابی به مولکول رنگزا حمله می‌کند. نتیجه این فرآیند تخریب رنگرا مطابق واکنش‌های زیر می‌باشد [۱۳, ۱۴]:

آغاز



انتشار



تخریب



۲-۲-روش کار

مقادیر تعیین شده رنگرا به خوبی در آب قطر حل شد و pH ابتدایی آنها با استفاده از pH متر GP353 ساخت شرکت EDT اندازه‌گیری شد ($5,6 \leq pH \leq 5,9$)، هر محلول به راکتور منتقل شد و در شرایط طراحی شده برای آزمایش تحت تابش نور UV قرار گرفت.

طیف جذبی رنگزا با استفاده از اسپکتروفوتومتر 4802 UV/VIS Double Beam ساخت شرکت Unico ثبت شد. راکتور مورد استفاده در این تحقیق یک فوتو راکتور ستونی ناپیوسته دارای یک لامپ ۲۵۳,۷nm ۱۵W low-pressure mercury می‌باشد (٪۹۰) که شمای آن در شکل ۱ نشان داده شده است.

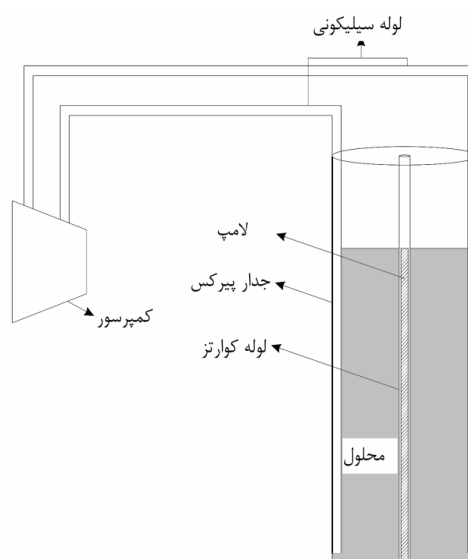
مقدار جذب محلول AB74 در طول موج بیشینه ($\lambda_{max}=610nm$) اندازه‌گیری شد. غلظت‌های مختلف محلول رنگرا پرتو افشاری شده نیز با آزمون اسپکتروفوتومتر و درصد رنگبری با استفاده از رابطه Decolorization (%) = $(1 - C/C_0) \times 100$ تعیین شد.

که در این رابطه، C و C_0 به ترتیب غلظت‌های محلول در زمان t_0 و t می‌باشد.

۳-نتایج و بحث

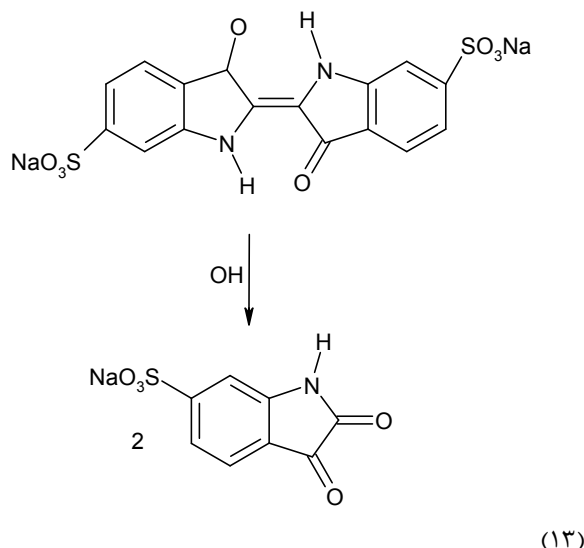
۳-۱-اثر UV و H_2O_2 بر فرآیند رنگبری

به منظور مطالعه سینتیک رنگبری، در وقفه‌های زمانی معین نمونه‌گیری صورت گرفته و مقدار جذب آنها قرائت شد. برای تعیین میزان تاثیر UV و H_2O_2 به تنها بی‌ روی فرآیند رنگبری مقدار جذب نمونه‌های تحت تابش و همچنین مخلوط محلول‌های رنگی و پراکسید هیدروژن در فواصل ۵ دقیقه‌ای تا زمان پایانی ۶۰ دقیقه قرائت شد

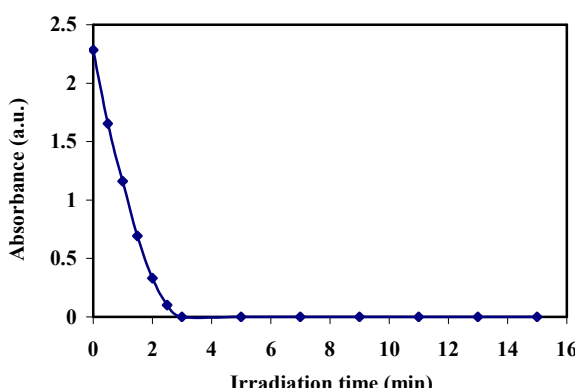


شکل ۱: شمای فوتوراکتور مورد استفاده.

نسبت به افزایش OH^\bullet به حلقه فنیلی با نفتیلی ارجحیت دارد [۱۵]. آشکار کرده است که رنگزا ابتدا به مطالعات $^1\text{H-NMR}$ [واکنش (۱۳)] و سپس به فرمیک اسید و دیگر اسیدهای آلیفاتیک تبدیل می‌شود که مسئول کاهش pH محلول در فرآیند تصفیه از ۵,۸ به ۳,۸ می‌باشد [۱۶-۱۸].

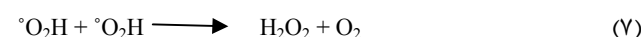


طیف‌های جذبی محلول رنگزا قرار گرفته در معرض نور UV ثبت شد، پیک جذبی در نزدیک جذب بیشینه ظاهر نشد که می‌توان نتیجه گرفت باند جذبی به وسیله محصولات حد واسط اکسیداسیون مختلط نمی‌شود. همانگونه که شکل ۳ نشان می‌دهد مقدار جذب محلول تحت تابش قرار گرفته رنگزا AB74 در λ_{max} بعد از مدت زمان کوتاهی به صفر می‌رسد که این به معنای حذف گروه کروموفوری AB74 یا به عبارت دیگر رنگبری کامل محلول رنگی می‌باشد.



شکل ۳: نمودار تغییرات جذب محلول رنگزا در زمان‌های متفاوت $[\text{AB74}] = 50 \text{ mg.L}^{-1}, [\text{H}_2\text{O}_2]/[\text{AB74}] = 50, \text{pH} = \text{Neutral}$

پایان



مرحله اصلی در فرآیند $\text{UV}/\text{H}_2\text{O}_2$ حمله فoton به H_2O_2 و تشکیل

رادیکال هیدروکسیل می‌باشد [واکنش (۱)].

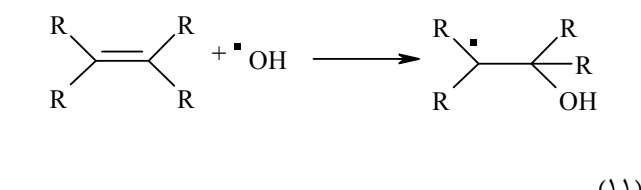
رادیکال‌های هیدروکسیل اکثرا از طریق حمله به هیدروژن سبب اکسیداسیون ترکیبات آلی می‌شوند [واکنش (۹)].



این واکنش رادیکال‌های آلی تولید می‌کند که با افزایش اکسیژن مولکولی به آنها رادیکال‌های پراکسیل تولید می‌شود. این حدواتها نیز در واکنش‌های زنجیری اکسیداسیونی شرکت می‌کنند که در نهایت دی اکسید کربن، آب و نمک‌هایمعدنی تولید می‌کنند [واکنش (۱۰)].



افزایش الکتروفیلی OH^\bullet به سیستم π ترکیب آلی، یک ساز و کار دیگر تخریب اکسیداسیونی می‌باشد [واکنش (۱۱)].

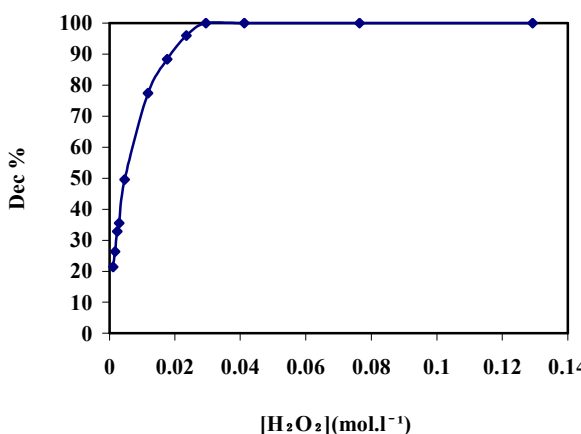


این واکنش منجر به تولید رادیکال‌های آلی می‌شود و واکنش‌های متعاقب آن شبیه آنچه که برای جذب هیدروژن ذکر شد می‌باشد [واکنش (۱۰)].

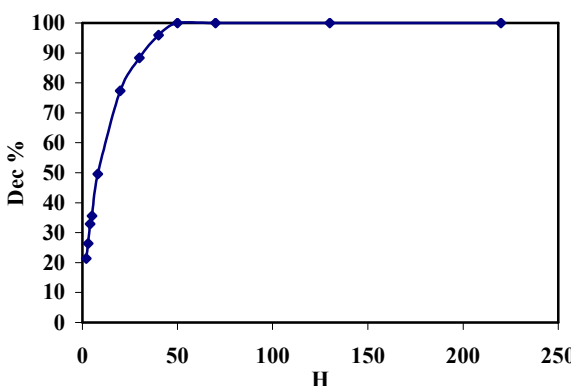
سرانجام در مواردی که جذب هیدروژن یا افزایش الکترونی به وسیله مزاحمت استخلاف‌های هالوژن و ... دشوار باشد، انتقال الکترون به OH^\bullet [واکنش (۱۲)] رخ می‌دهد.



افزایش OH^\bullet به حلقه آروماتیک مولکول تنها زمانی که فاقد هیدروژن ناپایدار باشد رخ می‌دهد. در حضور هیدروژن ناپایدار، جذب آن (که در فرم هیدرازن به N و در فرم آزو به اتم O متصل است)



شکل ۴: اثر غلظت ابتدایی H_2O_2 روی درصد رنگبری AB74
[AB74]= 4.3×10^{-5} mol.l⁻¹, pH=Natural, t=90s



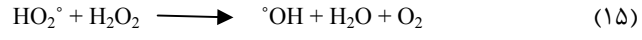
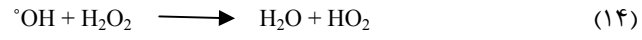
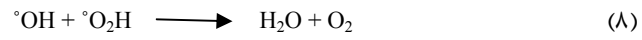
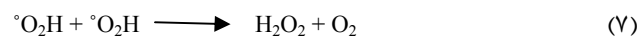
شکل ۵: نمودار درصد رنگبری در برابر نسبت غلظت وزنی H_2O_2 به غلظت وزنی AB74
[AB74]= 4.3×10^{-5} mol.l⁻¹, pH=Natural, t=90s

اما این رادیکال‌ها به جای واکنش با مولکول رنگرا به شکل تبعیض‌آمیزی با مقدار اضافی H_2O_2 واکنش می‌دهند و بنابراین پس از مقادیر بهینه بازده رنگبری ثابت می‌ماند.

۳-۲-۳ اثر pH بر فرآیند رنگبری

با توجه به شرایط و حالات مختلف حاکم بر پساب‌های خروجی از یک واحد صنعتی که می‌تواند pH‌های مختلفی داشته باشد تأثیر pH روی درصد رنگبری در محدوده ۳-۸ pH= که در حدود پساب خروجی صنعتی می‌باشد بررسی شد. بدین منظور غلظت‌های متفاوتی از اسید یا باز تهیه شد تا حداقل مقدار ممکن از آنها برای پرهیز از تغییر حجم به مخلوط واکنش اضافه شود. درصد رنگبری AB74 به عنوان تابعی از pH واکنش در شکل ۶ نشان داده شده است. درصد رنگبری در ۳ pH= بالاترین مقدار قرار دارد و پس از آن با افزایش pH تا ۸ کاهش در درصد رنگبری مشاهده می‌شود.

۲-۳-۲-۳-۲-۳ اثر غلظت ابتدایی هیدروژن پراکسید بر فرآیند رنگبری غلظت ابتدایی هیدروژن پراکسید یک عامل مؤثر بر سینیتیک تخریب رنگرا در فرآیند $\text{UV}/\text{H}_2\text{O}_2$ می‌باشد. در حقیقت OH^\bullet تولید شده از طریق فتوولیز H_2O_2 باید با مولکول‌های رنگرا واکنش دهد، اما می‌تواند با H_2O_2 اضافی نیز واکنش دهد. مقدار اضافی H_2O_2 و غلظت بالای OH^\bullet منجر به ایجاد یک واکنش رقابتی با تخریب رنگرا می‌شود که یا H_2O_2 تأثیر بازدارندگی در تخریب رنگرا دارد و یا مصرف بیهوده H_2O_2 می‌باشد که فقط هزینه فرآیند را افزایش می‌دهد [۱۵]. رادیکال‌های هیدروکسیل می‌توانند طبق واکنش‌های زیر مجدد ترکیب شده یا واکنش دهنده [۷, ۱۹].

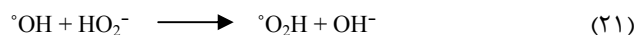
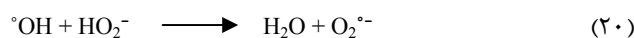


واکنش‌های (۸) و (۱۴) مصرف کننده OH^\bullet هستند، بنابراین احتمال کاهش تخریب رنگزا وجود دارد (در صورتی که کاهش غلظت OH^\bullet محسوس باشد). در نتیجه یک مرحله مهم در بهینه کردن فرآیند تعیین مقدار بهینه غلظت هیدروژن پراکسید است. نتایج نشان داده شده در شکل ۴ تأییدی بر مطالعه فوق بوده و نشان می‌دهد که مقدار بهینه هیدروژن پراکسید در شرایط آزمایشی این تحقیق 0.294 mol.l^{-1} می‌باشد.

شکل ۵ مقدار بهینه نسبت غلظت جرمی هیدروژن پراکسید به غلظت جرمی رنگرا را 50 ، معادل نسبت مولی 685.5 نشان می‌دهد که این مقدار وابسته به نوع راکتور، حجم آن و نوع لامپ به کار رفته می‌باشد. به عنوان مثال مقادیر بهینه نسبت غلظت مولی هیدروژن پراکسید به غلظت مولی رنگزا در دو راکتور فتوشیمیایی مطالعه شده توسط گالیندو و آل بویه به ترتیب برابر با 5000 [۱۶] و 1000 [۱۵] گزارش شده است.

در این تحقیق، این مقدار به حدود 685.5 کاهش یافت که این نشان دهنده کارآیی بالای فوتوراکتور طراحی شده می‌باشد که باعث کاهش هزینه می‌شود.

در غلظت پایین H_2O_2 تشكیل OH^\bullet مرحله تعیین کننده سرعت می‌باشد. غلظت کم H_2O_2 نمی‌تواند مقدار کافی رادیکال‌های هیدروکسیل را تولید کند و بنابراین سرعت اکسیداسیون کم است. در حضور غلظت بالای H_2O_2 انتظار می‌رود که مقادیر بیشتری OH^\bullet تولید شود



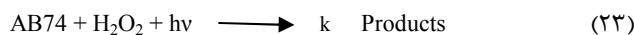
واکنش پذیری O_2^\bullet و HO_2^- با آلودگی‌های آلی بسیار پایین می‌باشد.

۴-۳-اثر غلظت ابتدایی رنگزا بر فرآیند رنگبری

غلظت‌های ابتدایی رنگزا به گونه‌ای انتخاب شد که جذب آنها از قانون بیرون پیروی نکند زیرا غلظت رنگزا در نمونه‌ها با استفاده از این قانون تعیین شده.

$$A = k \cdot E \cdot C \quad (22)$$

که A: مقدار جذب نمونه، k: طول سل، E: ضریب جذب مولی رنگزا و C: غلظت رنگزا می‌باشد.
واکنش کلی حذف رنگزا تحت فرآیند $\text{UV}/\text{H}_2\text{O}_2$ را می‌توان به صورت زیر ارائه کرد:



هنگامی که سینتیک رنگبری مطالعه شد پی برده شد که ارتباط LnC/C_0 و زمان پرتودهی همان‌گونه که در شکل ۷ نشان داده شده است خطی می‌باشد، این نمودار یک واکنش مرتبه اول می‌باشد بنابراین سینتیک تخریب رنگزا باید طبق معادله زیر تشریح شود:

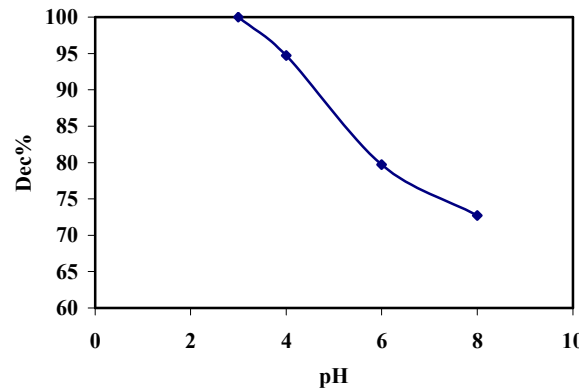
$$-\frac{dC}{dt} = kt \quad (24)$$

که k: ثابت سرعت واکنش کلی (s^{-1})، C: غلظت رنگزا در لحظه مورد نظر و t: زمان پرتودهی (s) می‌باشد. پس از انتگرال گیری این معادله در شرایط مرزی ($t=0$ و $C=C_0$) خواهیم داشت:

$$\text{LnC/C}_0 = -kt \quad (25)$$

که C: غلظت رنگزا در زمان مورد نظر (mg.l^{-1}), C_0 : غلظت رنگزا در t=0، k: ثابت سرعت مرتبه اول (s^{-1}) و t: زمان پرتودهی یا واکنش (s) می‌باشد.

شیب خطوط در شکل ۷ ثابت‌های سرعت مرتبه اول را نتیجه می‌دهند.

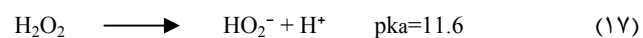


شکل ۶: تأثیر pH روی درصد رنگبری AB74 .
[AB74]= $4.3 \times 10^{-5} \text{ mol.L}^{-1}$.
[H₂O₂]= $0.0294 \text{ mol.L}^{-1}$, t=60s

این اثر را می‌توان اینگونه تفسیر نمود که اولاً سرعت خود تخریبی H₂O₂ [واکنش (16)] به طور چشمگیری به pH وابسته است. عملاً H₂O₂ را در شرایط اسیدی ضعیف (pH=5) می‌سازند زیرا سرعت خود تخریبی آن در pH بالا فراوان است. ثابت سرعت واکنش مرتبه اول خود تخریبی به ترتیب 2.29×10^{-2} و 7.4×10^{-3} در pH=7 و pH=10.5 می‌باشد [۲۰].



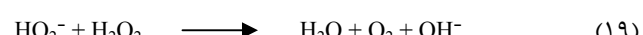
ثانیاً در pHهای قلیایی غلظت باز مزدوج H₂O₂ افزایش می‌یابد [واکنش (17)].



۲۵۴ nm ضریب جذب مولی بیشتری نسبت به H₂O₂ در دارد ($240 \text{ l.mol}^{-1} \cdot \text{cm}^{-1}$ در برابر $186 \text{ l.mol}^{-1} \cdot \text{cm}^{-1}$) که تمایل بیشتری برای جذب نور دارد و متعاقباً باید طبق واکنش (18) منجر به افزایش تولید OH⁻ شود [۲۱].

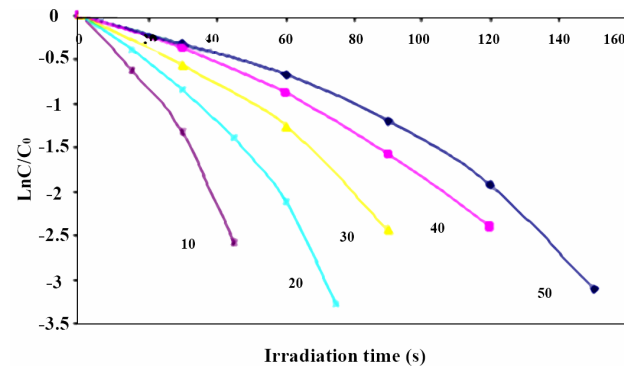


اما HO₂⁻ طبق واکنش (19) با یک مولکول H₂O₂ واکنش داده بنابراین غلظت OH⁻ کمتر از مقدار مورد انتظار است [۷].

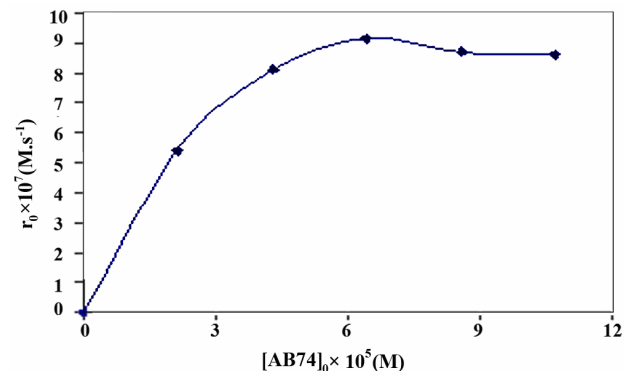


به علاوه تحت این شرایط غیر فعال‌سازی OH⁻ یک عامل بسیار مهم‌تر است که از طریق واکنش‌های زیر رخ می‌دهد [۱۹].

شکل ۸ وابستگی سرعت آغازین واکنش (r_0) را به غلظت ابتدایی رنگرا نشان می‌دهد. همان‌گونه که شکل نشان می‌دهد سرعت واکنش تا غلظت ابتدایی $M = 6,43 \times 10^{-5}$ افزایش یافته و پس از آن کاهش می‌یابد این پدیده ناشی از دو حقیقت متصاد است، از یکسو با افزایش تعداد مولکول‌های رنگرا در واحد حجم احتمال برخورد بین این مولکول‌ها و اکسید کننده‌ها افزایش می‌یابد و از سوی دیگر چون ضرب جذب مولی AB74 در nm ۲۵۴ تقریباً ۱۰۰۰ برابر ضرب جذب مولی H_2O_2 در همین طول موج می‌باشد، $1.8,7 \times 10^3 \text{ L mol}^{-1} \cdot \text{cm}^{-1}$ در برابر $1.8,61 \text{ L mol}^{-1} \cdot \text{cm}^{-1}$ بنابراین افزایش غلظت رنگرا همانند یک صافی مؤثر عمل کرده و محلول را نسبت به نور UV نفوذناپذیر می‌کند و بنابراین H_2O_2 کسر کمتری از نور UV را دریافت کرده و متعاقباً رادیکال‌های OH کمتری تولید شده و سرعت رنگبری نیز کاهش می‌یابد [۱۶].



شکل ۷: نمودار $\ln(r_0/r_{00})$ در برابر زمان پرتودهی غلظت‌های مختلف رنگرا بر حسب $[M_0] = 50, \text{pH} = \text{Natural}, \text{mg L}^{-1}$



شکل ۸: تاثیر غلظت ابتدایی رنگرا روی سرعت آغازین واکنش $[M_0] = 50, \text{pH} = \text{Natural}$

۴- نتیجه‌گیری

مشاهدات این تحقیق به خوبی اهمیت انتخاب مقدار بهینه عامل‌های مؤثر بر رنگبری را برای به دست آوردن سرعت آغازین واکنش بیشتر نشان می‌دهد. سرعت رنگبری با افزایش غلظت ابتدایی H_2O_2 تا $[H_2O_2] = 6,43 \times 10^{-5} \text{ mol L}^{-1}$ افزایش می‌یابد و پس از آن ثابت است. در $pH = 3$ سرعت رنگبری در بالاترین مقدار می‌باشد. افزایش غلظت ابتدایی رنگرا تاثیر دوگانه داشته تا $M = 6,43 \times 10^{-5}$ باعث افزایش سرعت اولیه واکنش و پس از آن سبب کاهش می‌شود. با توجه به این نتایج می‌توان گفت فرآیند UV/ H_2O_2 در حضور هوا می‌تواند به عنوان یک روش مناسب و سریع برای رنگبری پساب‌های صنایع نساجی که با روش‌های معمول به راحتی تصفیه نمی‌شوند و یا احتیاج به زمان طولانی برای عمل تصفیه دارند به کار گرفته شود.

۵- مراجع

- P. Borker, A. V. Salker, Photocatalytic degradation of textile azo dye over $\text{Ce}_{1-x}\text{Sn}_x\text{O}_2$ series. *Mater. Sci. Eng. B*. 133 (2006), 55-60.
- N. M. Mahmoodi, M. Arami, K. Gharanjig, F. Nourmohammadian, Deolorization and mineralization of basic dye using nanophotocatalysis: Pilot Scale Study. *J. Color Sci. Tech.* 1 (2007), 1-6. (in Persian)
- I. K. Konstantinou, T. A. Albanis, TiO_2 -assisted photocatalytic degradation of azo dyes in aqueous solution: Kinetic and mechanistic investigations: A review. *Appl. Catal. B: Environ.* (2004), 1-14.
- A. G. S. Prado, L. B. Bolzon, C. P. Pedroso, A. O. Moura, L. L. Costa, Nb_2O_5 as efficient and recyclable photocatalyst for indigo carmine degradation. *Appl. Catal. B: Environ.* 82 (2008), 219-224.
- E. Forgacs, T. Cserhati, G. Oros, Removal of synthetic dyes from wastewaters: A review. *Environ. Int.* 30(2004), 953-971.
- K. Topuduti, S. Tay, E. Monschein, Advanced photochemical oxidation processes. U. S. Environmental Protection Agency Publication, December 1998, Section1.
- M. Muruganandham, M. Swaminathan, Photochemical oxidation of reactive azo dye with UV- H_2O_2 process. *Dyes Pigm.* 62(2004), 269-275.
- Y. M. Slokar, A. Majcen Le Marechal, Methods of decoloration of textile wastewaters. *Dyes Pigm.* 37 (1998) 335-356.
- C. Galindo, A. Kalt, UV/ H_2O_2 oxidation of azo dyes in aqueous media: Evidence of a structure-degradability relationship. *Dyes Pigm.* 42(1999), 199-207.
- S. F. Kang, C. H. Liao, S. T. Po, Decolorization of textile wastewater by photo-Fenton oxidation technology. *Chemosphere*. 41(2000), 1287-1294.
- C. Galindo, P. Jacques, A. Kalt, Total mineralization of an

- azo dye (Acid Orange 7) by UV/H₂O₂ oxidation. *J. Adv. Oxid. Technol.* 4(1999), 400-407.
12. A. M. L. Marechal, Y. M. Slokar, T. Taufer, Decoloration of chlorotriazine reactive azo dyes with H₂O₂/UV. *Dyes Pigm.* 33(1997), 281-298.
13. A. Mohey El-Dein, J. A. Libra, U. Wiesmann, Mechanism and kinetic model for the decolorization of the azo dye Reactive Black 5 by hydrogen peroxide and UV radiation. *Chemosphere.* 52(2003), 1069-1077.
14. O. M. Alfano, R. J. Brandi, A. E. Cassano, Degradation kinetics of 2,4-D in water employing hydrogen peroxide and UV radiation. *Chem. Eng.* 82(2001) 209-218.
15. A. Aleboyeh, H. Aleboyeh, Y. Moussa, Critical effect of hydrogen peroxide in photochemical oxidative decolorization of dyes: Acid Orange 8, Acid Blue 74 and Methyl Orange. *Dyes Pigm.* 57(2003), 67-75.
16. C. Galindo, P. Jacques, A. Kalt, Photochemical and photocatalytic degradation of an indigoid dye: a case study of acid blue 74 (AB74). *J. Photochem. Photobiol. A: Chem.* 141 (2001), 47-56.
17. C. Galindo, A. Kalt., UV/H₂O₂ oxidation of monoazoique dyes in aqueous media: a kinetic study. *Dyes Pigm.* 40 (1998), 27-35.
18. K. Takeuchi, T. Ibusuki, Quantitative determination of aqueous-phase ozone by chemiluminescence using indigo-5,5'-disulfonate. *Anal. Chem.* 61(1989), 619-623.
19. M. W. Chang, C. C. Chung, J. M. Chern, T. S. Chen, Dye decomposition kinetics by UV/H₂O₂: Initial rate analysis by effective kinetic modelling methodology. *Chem. Eng. Sci.* 65 (2010), 135-140.
20. W. Chu, Modeling the quantum yields of herbicide 2,4-D decay in UV/H₂O₂ process. *Chemosphere.* 44 (2001), 935-941.
21. F. J. Beltran, M. Gonzalez, J. F. Gonzalez. Industrial wastewater advanced oxidation. Part 1. UV radiation in the presence and absence of hydrogen peroxide or UV radiation. *Wat. Res.* 31 (1997), 2405-2414.